

三次元のジェット・フラップ 理論

* ケンブリッジ大学応用数学部

徳田 尚之

§1. 序

航空機は最近急速に大型化しているが、それに伴い、高着陸時の滑走距離を延び、殊に最近公害問題として、大きくウローズ・アップされるべき騒音の問題とも絡め、新空港建設の際、この敷地問題は、成田空港更にはロンドンのユーロントン空港等に見られる様に、大変深刻な社会問題へと発展しつつある。短距離／垂直離着陸可能な航空機の出現が殊に最近、望まれているのは、これら、其背景による所が大きい。この種の航空機の基礎にある高揚力装置として注目を浴びているものの一つが、ジェット・フラップである。翼の後端部から、ジェットを高速で一様な蒸気層状に噴き出させ、それにより形成するエット・ニートにより、今後よく使用される機械的・フラップの役割の代用とされる事から、このジェット・フ

* 現住所：東京都文京区関口1-24-2, 604号

ラップとつ3名様がつけられてゐる。然し、機械的ラップに較べて、ジェット・ラップは次の異なる特徴をもつてゐる。

1. 高速ジェットと噴き出可事により、翼上の境界層のはがきを防ぐ。これは、翼表面の摩擦の肩、減速され、エネルギーを失り、はがれかけている状態の流体にエネルギーを与え、剥離を防ぐ事^(K層)の意味で、ジェット・ラップは境界層コントロールの一種と考えて良い。
 2. 翼の後部に形成するジェット・シートの上、下面向には圧力差(ジェットの運動量と曲率の爲生ずる遠心力による)が生じ、従、このジェット・シート面自体が、翼面と同様に、揚力面となる。ジェットは、無限遠まで原則として伸びるので、この揚力面も無限遠まで伸びる事となる。
 3. 噴き出可ジェットの運動量は、少く共推力としては、いつも回収される。
- この問題の二次元の詳細な解説は、Spence(1956, 1961)により与えられてい。Spenceは、流体は非粘性とし、薄肉ジェットを仮定して、薄翼層理論を用いてい。これらの制限を考慮せず、Spenceの解は、ジェットの吹き出し角で約60°という大きな角度でも、実験値とよく一致しており、このSpenceの仮定が、大変物理的意義をもつてゐる事とする。このSpenceの理論のoutlineは、§2に述べる。

ジェット・フラッフと使つた論文では、ジェット・シートや揚力面となる事からも解る様に、実際の応用問題では、その三次元性の解析は、大変重要なファクターになる、くなる。一般に、ジェットの問題で一番難かしい問題は、そのジェットの形状を定める事であるが、このジェット・フラッフの問題では更に、この形状が決まると初めて揚力面上での渦層の構造が定まり、これが全体の流れに影響を及ぼすのであるから、三次元においては、その解析方法は、益々難かしくなる。例えば，Maskell & Spence (1960) は、初めてこの三次元の問題を扱ったが、^{評価するのに} 3で導く揚力面理論を用いて、解析的に解こうとしたが、downwash と内渦法等という、理論的には疑わしつ方法を用いている。Kerney (1971) は、特異擾動法を用いて、この三次元の問題を解こうとしているが、この問題では一番重要なと思われる外部領域でのジェット・シートの影響を無視しているといふミスを犯してしまった。

この論文の一番の特徴は、このジェットの形状は、実は外部領域では、内部領域の流中によって決まる特異点（又は線）の強さによつて決まる事を示した事である。この事実は、割りに簡単な物理的考察により見抜く事が出来る事だ、と述べて示す。この結果全領域で一様に成り立つ三次元の漸近解か、複雑な微積分方程式を解く必要もなく、簡単に求められた。

§ 2. 二次元の Spence の理論

下の図 1 に、二次元ジェット・フラッフの断面図及びその座標系を図示してある。勿論これは、図 2 に示す三次元翼の一横断面図と表えてよい。

良く知るゆえの様な粘性が弱く、縮まぬ流体の式にはボテンシャル中か存り、それは Laplace の式を満足する。 α 、 β ジェットの弦肉であり、翼及びジェットによる影響は一様流に較べて一様に小さいと仮定翼展開を用いると、二次元のジェット・フラッフを支配する式及び境界条件は次の様に表わされる。

$$\nabla^2 \phi^{(2)} = \frac{\partial^2 \phi}{\partial x^2} + \frac{\partial^2 \phi}{\partial z^2} = 0 \quad (2.1)$$

$$\omega = \frac{\partial \phi}{\partial z} = \alpha, \quad -\frac{c}{2} < x < \frac{c}{2}, z = 0 \quad (2.2)$$

$$\omega = \alpha + \beta \quad x = \frac{c}{2}, z = 0 \quad (2.3)$$

$$\Gamma = \frac{c}{2} \frac{\partial \omega}{\partial x} \quad x > \frac{c}{2}, z = 0. \quad (2.4)$$

α 、 β は翼の迎え角、 β は、迎え角を基準にして測る、ジェットの噴出角である。簡単にする鳥翼の反りは右のとおりとする。図 1 の中で、複素平面 $Z = x + iz$ を考へると、複素速

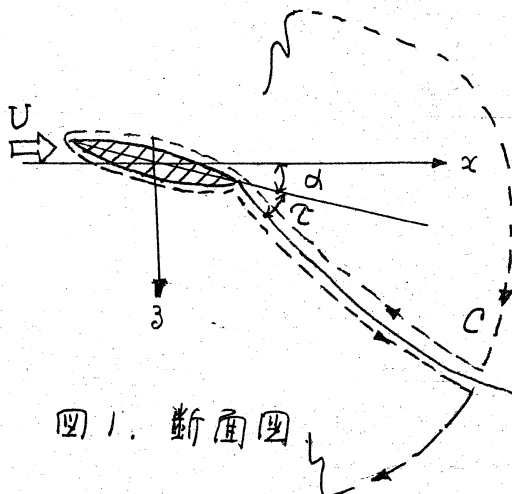


図 1. 断面図

度 $\theta = u - i\omega$ は、ヨーニーの定理により次の様に表わせる。

$$\theta = \frac{1}{2\pi i} \oint \frac{\theta(z')}{z-z'} dz'$$

こゝで積分路とし、翼及びエット・シートの上、下面を沿つて無限遠の下流奥へ達し、その奥の半径を ϵ 、こゝに沿うる閉曲線 C (図.1 参) を選べば、その積分値と θ とは、翼とエット上、下面部の u 成分のとび (jump) のサカ寄与する事になり、またその座数部を取ると次の式を得る。

$$\omega = \frac{1}{2\pi} \int_{g_1}^{\infty} \frac{F(x')}{x-x'} dx' \quad (2.5)$$

こゝで F は、(2.4)式の F と同様渦層の強さを表わし、これはよく知られる様に、速度 u のとびで定義される (今井 1970, 100 頁等)。従つて、二次元のエット・フラップの解は、境界条件 (2.2) から (2.4) を満たす様な F の分布を求めねば良き事が解る。

Spence はまづ (2.5) 式と Carleman の反演公式を用いて反転し、 w は $\%$ から $\%$ の間には既知であるのでその積分を行ふ。こゝから、(2.5) 式と $\%$ から ∞ の範囲での w とその微分 $\frac{dw}{dx}$ を含む微積分方程式に変換して、Fourier 展開更には、エット係数 C_j を小さくして漸近展開を行ふ。これから Mellin 変換を用ひて解を求める。Spence によるエット・フラップ翼の揚力係数は次の式を与えられる。

$$\frac{\partial C_j^{(2)}}{\partial a} = 2\pi \left[1 - \frac{C_j'}{4\pi} \left(1 + \frac{C_j}{4\pi} \right) \left(\log \frac{C_j}{4\pi} - 1 \right) + O(C_j^2) \right] \quad (2.6)$$

$$\frac{\partial C_2^{(2)}}{\partial \epsilon} = 2\sqrt{\pi}G \left[1 - \frac{G}{8\pi} \log \frac{G}{4\beta} - \frac{G^2}{128\pi^2} \left\{ \left(\log \frac{G}{4\beta} \right)^2 + 4 \log \frac{G}{4\beta} - 4 \right\} + \dots \right] \quad (2.7)$$

ここで $\beta = 4e^\gamma$, 且つ Euler 定数 0.5772 であり, G はジエットの運動量係数である。添字 ⁽²⁾ は、この論文では二次元の場合を示す。尚 Spence の解の詳細は、原論文(Spence 1956, 1961) を参照されたい。

§ 3. 揚力面理論による三次元ジエット・フラップ解法

解説を出来るだけ簡単にする為に、

二次元の場合と同様に、三次元

でも、又の反対側から前後

並びに左右に对称な翼を考へ

る(図2 参照)。三次元の

Spence の理論で実証されている

3薄肉ジエットの仮定に基づく

弦翼展開理論と、三次元の場合

合を用ひる。三次元のジエット・フラップを支配方程式 § 2

の二次元の場合と同様に次の如く与えられる。

$$\nabla^2 \phi = \frac{\partial^2 \phi}{\partial x^2} + \frac{\partial^2 \phi}{\partial y^2} + \frac{\partial^2 \phi}{\partial z^2} = 0 \quad (3.1)$$

$$\omega(x, y, 0) = \alpha, \quad -\frac{c}{2A} < x < \frac{c}{2A} \quad (3.2)$$

$$\omega(x, y, 0) = \alpha + \tau, \quad x = \frac{c}{2A} \quad (3.3)$$

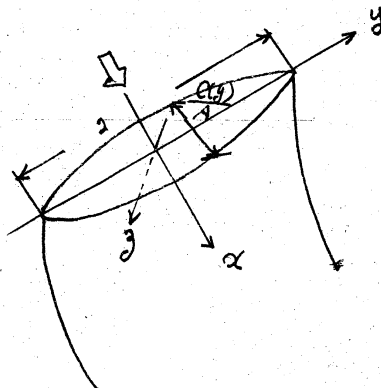


図2. 三次元翼

$$\Gamma(x, y) = -\frac{cG}{2A} \frac{\partial w}{\partial x}(x, y, 0), \quad x > \frac{c}{2A} \quad (3.4)$$

エット・シート上の条件(3.4)を求めるのに際し、渦放の巻き上かりによる翼中方向に生じるエット・シートの運動量の影響は、この無視している。この点については詳めしく徳田(1971)が討議している。この種の三次元の揚力面理論は、二次元の場合と同じ積分方程式の型に導く事が出来る。

(3.1)式の中と同様に、速度成分 u は当然 Laplace の方程式 $\nabla^2 u = 0$ を満足するから、Green の公式表示を用ひれば次のように一般的に表現出来る(今井 1970, 537-542)。

$$u(x, y, z) = \iint_S \left(u \frac{\partial}{\partial n} - \frac{\partial u}{\partial n} \right) \frac{1}{4\pi r} dS \quad (3.5)$$

この式は任意の曲面 S の外部で成り立つ。 n は面 S 上の外法線ベクトルであり、 r は積分点と S を評価するところ (x, y, z) までの距離である。今この曲面 S とて、翼及びエット・シートの上、下面を含むものを考へるとすると、(3.5)式は翼及びエット・シート上面の上、下での u の n からのコントリビューションを受ける事が解る。 n で w が連続である事は、 $\frac{\partial u}{\partial n}$ が連続である事を意味する事に注意せねばならない。若翼理論では、翼、エットと共に $z=0$ の面に位置していると見做して良い事から、(3.5)式は次の様に変形出来る。

$$u(x, y, z) = \iint_{S=W_{r,j}} \Delta u \cdot \frac{\partial}{\partial z} \left(\frac{1}{4\pi r} \right) dS = \iint_{W_{r,j}} \Gamma(x', y') \frac{\partial}{\partial z} \left(\frac{1}{4\pi r} \right) dx' dy' \quad (3.6)$$

式(3.6)は、揚力面を伴う三次元的問題では、速度 u は、揚力面

での u のと v (即ち渦層の強さ) とその強さとし、主流方向と垂直な方向を軸とも、大二重わき出しにより求められる事を示している。この事から、揚力面上で上向きの二重わき出し (doublet) と渦層の解は、数学的に同等である事が解る。この式から境界条件を満たすより便利な下向きの速度成分 W に変する式を導く事は容易であり、次の様な良く知られた揚力面の公式を得られる。

$$w(x, y, 0) = \frac{1}{4\pi} \frac{\partial}{\partial y} \int_{-\infty}^1 \int_{-\frac{c}{2}}^{+\infty} \frac{\Gamma(x', y')}{y - y'} \left(1 - \frac{r}{x - x'}\right) dx' dy' \quad (3.8)$$

$$\text{ただし } r = [(x - x')^2 + (y - y')^2]^{1/2}$$

三次元の境界条件 (3.2) から (3.4) を満す Γ の分布を求めるには次の事にある。式 (3.8) は既にならかに、渦の特異性をもつ二重微積分方程式となり、三次元の Spence 理論の様な解的解を求めることは殆んど絶望的である。 (3.8) の数値解が唯一の方法と思われる。これには色々なバリエーションが考えられるが、基本的には、翼及びディットと小さなブロックへ細分し、各ブロック内では渦層の強さを一定と考え、他のブロックへのそれが他のブロックの影響を加え、その結果をもとめて境界条件を満す様に各ブロックの渦層の強さを決め行く方法となる。このディット・フラッフの問題については、Das (1965) が, Malthopp の数値解法に基づき、数値解を求めているが、本論文の計算

結果に較べると、莫大な計算の手間の割りでは、最終結果は精度的にも余り思ひしくない様である。^{その理由は}普通の三次元翼問題と違い、揚力面かジエット・シートの歓翼の後方無限遠まで伸びるので、同じ精度を得るには相当このグリッドの数を増やす必要がある爲と思われる。前述した Maskell & Spence (1960) は、 ω が y に依らず常に翼中方向の循環が梢円形へ変わるという特殊な場合について考へたが、そこでも尚 x による ω の変化を評価するのに、既知量である $\omega(0,y)$ と $\omega(\infty,y)$ の間は内挿法によつて定めると、大強引な方法によつてざるを得なかつた。但し、Maskell & Spence (1960) の梢円翼の場合の最終結果は、漸近的には本論文の解と一致しており、これは計算が如何に注意深く問題の物理現象に忠実にその内挿手法を選んだかといふ事を示している。次章では、もと他の観点からこの問題を眺め、系統立つてしかも数学的にも厳密な解を求め得る方法を示唆する一つの物理的考察手法を示す。

§4. ジエット・フラッフの三次元問題の物理的解釈について

§3 で述べた様に、三次元ジエット・フラッフの問題を、積分方程式の型へ帰着させるのは容易であるが、三次元の様に

解説解を求める事は困難である。前にも述べた様に、ジェット・フラッフの問題はその取扱いが一番困難であるのは、ジェットの形状と流れの相互干渉の問題であるか、次に示す物理解釈によれば、その取扱方法、従て解説方法が大変容易になる事と示す。下の図3を参考されると便利である。

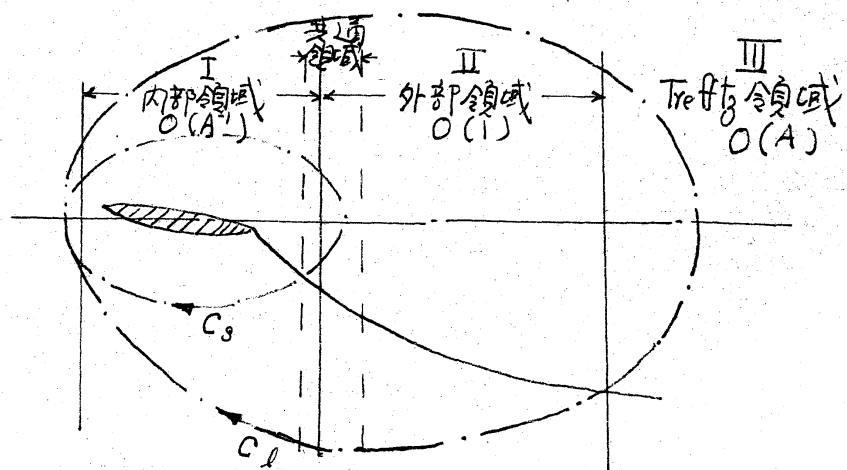


図3. 流れの基本的構造

今図2又図3に示す様な翼中の長さをオーダー¹で、翼弦を¹³ $O(1/A)$ である様翼を考えよう。勿論高速のジェットが翼の後端から吹き出している。今我々が翼から $O(1/A)$ の内部領域(I)に居ると仮定しよう。するとこの目標者には、 A が大きくなると、この翼そのものが無限遠まで伸びていてしか見えない。即ちこの翼全体が二次元翼としか見えない領域が存在する

* 但し翼の両端の近くでは、いくら A が大きくても翼の先が切れてしまい、二次元性が失われる領域が必ず存在する。

。即ちこの領域(I)では、少く共第一近似では、翼の三次元性の影響を考慮なくとも良く、Spence の二次元の解を用いる事が解る。

次に翼中と同じオーダー(即 \$O(1)\$)の距離だけ翼から離れた領域に居る場合を考えて見よう。この目標者から見た翼はその弦長が \$O(1/A)\$ の如く零に近づく事になるので、翼は線のように見える。この線が消えれば、この外部領域の流れは一様流ひとある筈である。即ちこの外部領域において生じているこの一様流の乱れは、実はこの線に集中して**する持異性の強さによ、て決まるものである。ジエットは当然流れに沿、ている事に注目すると、この論文では一番重要な次の事実が確立される；即ち外部領域(II)でのジエットの形状、即 \$S = \text{エット面上での渦層の強さ}\$ は、内部領域でのこの持異線(普通 Prandtl の揚力線と呼ばれる)上の持異性の強さによ、て決まる。従、て、内部領域における持異性(湧き出し、二重湧き出し、…、渦糸、等)の強さを之解けば、この内題で最も広い領域を持つ外部領域の揚力面(ジエット・ミート面)の渦層の強さが決まり、従、て全流域の流れが決定出来る。

** この事象は、も、と古く知られてゐる粘性流中の Oseenlet, Stokeslet と对比して考ざると、も、と明解に理解出来ると思われる。

この領域よりも、と遠く $O(A)$ の距離翼から離れた處を考
えると、 x 軸の方向にはもう流れの状態が変化しないといふ
、形式的には [I] の内部領域の流れと良く似た二次元流れの領
域が存在する。但しこの面は主流に対する垂直な面で (I) の面
とは 90° ずれてくる。これは T_{left} の領域 (III) と呼ばれ、翼
に働く揚力、抵抗の計算に便利である。

この問題で循環を考える二通りの肉曲線 C_1 と C_2 が必要である
ことに注意せねばならない。図 3 に示す様に C_1 は内部領域 (I) を含むもので、これは内部領域で生じる持異性の強さを計算するのに
必要である。一方 C_2 はこれよりも、と大きく、内、外部領域
(I) と (II) を含み、 T_{left} 域 (III) へ達するもので、これは翼
の揚力等の計算に便利である。こうして、二通りの肉曲線が
必要となるのは、揚力面となるジェットが無限遠まで伸びて
いる事から明らかである。

この章で述べた物理解釈を用いて、この複雑なジェット・フ
ラッフルの問題を、簡潔に解く方法を次章で示そう。

§5. 漸近解の概要

内部領域 (I) の解析には、次の様な内部変数を導入する。

$$X = A \alpha, Y = y, Z = A \beta \quad (5.1)$$

一方外部領域(II)における外部変数はえのまゝの変数を用いる。

$$x = X, y = Y, z = Z \quad (5.2)$$

内部リミットは、 X, Y, Z を一定に保つたる $A \rightarrow \infty$ に ζ 、一方外部リミットは、 x, y, z を一定に保つたる $A \rightarrow 0$ に ζ 。

(5.1) 及び (5.2) の内部及び外部変数を (3.1) ~ (3.4) 式に代入して、各々のリミットを取り、それに基づき内部解及び外部解を求める。内部解は外部の境界条件を満足出来ず、又逆に外部解は内部の境界条件を満足せず、従、これらとの二カ所の解は未知係数を常に含んでいる。これらの中間の共通領域でも、この二種の解を接続させる事によりすべて決定出来る。

ζ, ζ' はその様にして決まり、大結果のみと下向きの速度成分 W (内部) と w (外部) について記す。

内部解

$$W = W_1 + W_2 + \dots \quad (5.3)$$

$$W_1 = \frac{1}{2\pi} \int_{-\frac{c}{2}}^{\infty} \frac{\Gamma_1(X')}{X - X'} dX' \quad (5.4)$$

$$W_2 = \frac{1}{2\pi A} \int_{-\frac{c}{2}}^{\infty} \frac{\Gamma_2(X')}{X - X'} dX' \quad (5.5)$$

$$\zeta, \zeta', r_1 = \int_{-\frac{c}{2}}^{\infty} \Gamma_1 dX = \frac{c}{2} C_L^{(2)} = \frac{c}{2} \left\{ \frac{\partial C_L^{(2)}}{\partial \alpha} \alpha + \frac{\partial C_L^{(2)}}{\partial \zeta} \zeta \right\} \quad (5.6)$$

$$r_2 = \int_{-\frac{c}{2}}^{\infty} \Gamma_2 dX = -\frac{c}{2} \alpha i \frac{\partial C_L^{(2)}}{\partial \alpha} \quad (\text{ただし } r_1, r_2, \dots \text{ は内部解には矛盾する}) \quad (5.7)$$

尚二次元の揚力係数は Spence の式 (2.6), (2.7) から得られる。又 $d_{12} = -\frac{1}{4\pi} \frac{\partial}{\partial y} \int_{-\infty}^y \frac{1}{2} C_L^{(2)} \frac{dy'}{y-y'} dy'$, 説導されて左下向を仰角と迎角である。

外部解

$$\omega = \omega_1 + \omega_2 + \omega_3 (= \omega_{30} + \omega_{3d} + \omega_{3j}) + \dots \quad (5.8)$$

$$\omega_1 \equiv 0 \quad (5.9)$$

$$\omega_2 = \frac{1}{2\pi A} \frac{\partial}{\partial y} \int_{-\infty}^y \frac{l_2}{y-y'} \left\{ 1 + \frac{\sqrt{x^2 + (y-y')^2}}{x} \right\} dy' \quad (5.10)$$

$$\omega_{30} = \frac{1}{4\pi A^2} \frac{\partial}{\partial y} \int_{-\infty}^y \frac{l_3}{y-y'} \left\{ 1 + \frac{\sqrt{x^2 + (y-y')^2}}{x} \right\} dy' \quad (5.11)$$

$$\omega_{3d} = \frac{1}{4\pi A^2 x^2} \frac{\partial}{\partial y} \int_{-\infty}^y \delta_3 \frac{y-y'}{\sqrt{x^2 + (y-y')^2}} dy' \quad (5.12)$$

$$\omega_{3j} = \frac{1}{4\pi A^2} \frac{\partial}{\partial y} \int_{-\infty}^y \int_{x_m}^{\infty} \frac{r_{d3}'}{y-y'} \left[1 - \frac{x}{x-x'} \right] dx' dy' \quad (6.13)$$

$$z, z'' l_2 = r_1 = \frac{c}{2} C_L^{(2)} \quad (5.14)$$

$$l_3 = r_2 - \frac{c G'}{4\pi x_m} r_1 - \frac{c G'}{2} d_{12} \quad (5.15)$$

$$\delta_3 = 12 m, \quad : m_1 = \int_{-\frac{c}{2}}^{\infty} x \Gamma_1 dx \quad (5.16)$$

$$r_{d3}' = -\frac{c}{2} G' \frac{\partial \omega_3}{\partial x} = \frac{c G'}{8\pi} \frac{\partial^2}{\partial x \partial y} \int_{-\infty}^y \frac{r_1}{y-y'} \left[1 + \frac{\sqrt{x^2 + (y-y')^2}}{x} \right] dy \quad (5.18)$$

l_2, l_3 は曲線 C (図 2 参) 内の直線である。

又 m_1 は共通領域内にある一実数である。

W と ω の解がその共通領域で完全にマッチしている事は、

(5.3) 式 B と (5.8) 式 $X \rightarrow \infty$ 並びに $x \rightarrow 0$ のリミットで評

極し、一覧づつ比較すれば、簡単に確認出来る。尚式(5.13)が外部領域でのジェット・シートによる影響を表わしており、(5.18)式を見れば、これが(5.10)式から求まり、従て前節の物理考察の章で述べた様に、内部領域での特異性の強さ(この場合は循環の弱さ)によると決まることのものである事に注意して頂きたい。

以上の結果を用いれば、翼に働く揚力並びに誘導抵抗は翼の形状を与えさえすれば簡単に求められる事が出来る。前述も様に、循環の強さを求めるには大きな円曲線 C_1 (図2参照)を用ひなければならぬ。この内内の循環を今 L とすると、

$$L = \frac{r_1}{A} + \frac{1}{A^2} (r_2 - c C_j d_{12}) + \dots \quad (5.19)$$

三次元翼では、ジェットは無限遠で d_{12} の角度傾いておりこの影響を考慮して(5.19)から揚力を求めると

$$C_L = \frac{1}{2} \int r_1 dy + \frac{1}{2A} \int r_2 dy + \dots \quad (5.20)$$

(5.20)式は、 $O(1/4)$ までの揚力は、内部領域に生じる特異性の強さ(この場合は渦糸でおさかねるが)しか三次元翼の揚力には寄与しないという大変重要な結果を示している。即ちジェット・シートが近く翼に生じる三次元翼でのプラスの揚力成分は、実はこのシートの曲率が減る厚のマイナスの部分と打ち合って消える事である。

本論文では、翼型としてカーブ状の翼、放物型翼、樽形

翼、更に矩形翼について揚力並びに誘導抵抗を求めた。

最初にも述べた様に、翼端部では翼の下面から上面へ巻き上かる様な流れが生じ(各 $1967, 85^\circ - 3^\circ$)、この附近の内部解の基礎となる二次元性が成り立たない領域が常に存在する。勿論この領域の広がり具合は翼の形状、アスペクト比に依存するか、充分にスムーズな翼であれば(例えは前述した最初の三つの翼)、アスペクト比 A が充分大きければ、翼端部から充分に狭い領域に限定され、揚力等翼全体にかかる力の積分値に與へては、その影響は無視しえる。しかしこの影響は矩形翼の場合無視出来ず、事実その積分値は無意味値に与えたり。したがふる、揚力の計算式はジエット・フラップ無しの場合で、揚力線理論に基づく Stewartson (1960) が求めた矩形翼の解がそのままこの問題でも使之る事は、(5.20) 式の各式を吟味すれば明らかである。例えは、梢円翼並びに矩形翼の場合の揚力係数並びに誘導抵抗係数は次の如くなる。

梢円翼.

$$\frac{C_L}{C_L^{(2)}} = \frac{1}{1 + \frac{1}{\pi} + \frac{\partial C_L}{\partial d}}, \quad \frac{C_D}{(C_L^{(2)})^2} = \frac{1}{(\pi A)^2} \frac{1}{\frac{1}{\pi} + \frac{1}{\pi^2 A^2} (2C_f + 2 \frac{\partial C_L}{\partial d})} \quad (5.21)$$

矩形翼.

$$\frac{C_L}{C_L^{(2)}} = \frac{1}{1 + \frac{\partial C_L}{\partial d} / \frac{1}{4\pi} + \left\{ \log \left(\frac{8A}{\partial C_L^{(2)}} \right) + \alpha \right\}}, \quad \frac{C_D}{(C_L^{(2)})^2} = \frac{1}{4\pi} \left\{ \log \left(\frac{8A}{\partial C_L^{(2)}} \right) + \alpha \right\} \quad (5.22)$$

こ、で C_D は誘導抵抗係数である。

William & Alexander (1957) は、この矩形翼について数多くの実験を行ったが、Stewartson (1960) の解に基づく (5.22) 式は、アスヤウト $c = 0.7$, $\delta_j = 1.6$ まで、彼等の実験と非常に良く一致しており、Spence の二次元の理論と同様この三次元の理論も信頼性のある結果を求め、いると思われる。

尚本論文のもと詳細な計算結果更には実験との比較は、著者の論文 (1971) に述べてあるのでこゝでは省略する。興味のある方は、そちらを御参照願つたう。こゝでは、§3 で述べた様な簡単な物理解釈か、数学的 K も複雑な内題を如何に簡潔化し、簡単な解を求めるかという事に重きをおつて、三次元エット・フランツ理論の説明を試みた。

この研究は著者加藤・ブリッジス博士に講義中完成したもので、その他の著者と色々と助けて頂いた Lightfoot 教授へ感謝の意を表した。帰国以来、著者と色々と便箈と計、この間つづいて今井功教授、阿波三郎教授にも謝意を表したり。

参考文献

今井功. 1970. 拖体力学. 岩波全書.

Das, A. 1965. Sonderdr. Akadem. Braunschweig. Wiss. Gesell.

17, 21-48.

Kerney, K.P. 1971 AIAA Journal, 9, 3, 431-435

Maskell, E.C. & Spence, D. 1959 Proc. Roy. Soc. A. A. 251, 407-425

Spence, D.A. 1956. Proc. Roy. Soc. A. 238, 46-68

Spence, D.A. 1961 Proc. Roy. Soc. A. 261, 97-118

谷-郎 1967 流力学 岩波全書

Tokuda, N. 1971 J. Fluid Mech. 46 705-726

Stewartson, K. 1960 Quart. J. Mech. Appl. Math. 13, 49-56

Williams, J & Alexander, A.J. 1957. Aero. Quart. 9, 395-406